

## 流砂量式についての二、三の考察

九州大学工学部 正貫 桜東一郎

平野京夫

在来多くの研究者によって流砂量を算定する公式が作られ、実際河川へ応用する努力がはらわれてきていが、その信頼性については多くの不安を残している。このことは、(1)流砂の物理的機構がきわめて複雑で、最も基本的な河床に働く流体力や砂粒の運動状態などを実験的に把握し難いこと、(2)河床に発達した sand wave の流れをいかで流砂量に影響を及ぼすこと、かくかく、(3)輸送型式が渦流、浮流という異なる力学的機構に基づくものであり、異なる取扱いを必要とするにかけらむ、実験的に両者を分離することができて困難なことなどによるとと思われる。このうち、渦流と浮流の限界は河床附近における鉛直方向の乱れの強度  $\sqrt{w^2} \approx 0.93 U_*$  が沈降速度  $w_s$  に一致する場合が一つの基準となる。また、 $W/c U_* \geq 1.5$  に於ては浮流砂は河床附近に集中して  $A = a_w/a$  ( $a_w$ : 浮流限界) にはば無関係になることから、この範囲では渦流的な取扱いが可能である。

これらの基準を渦流強度  $\psi = 2\phi/sqd$  と粒径  $d$  との関数として表したもののが図-1である。さて、渦流砂量の公式としては、物理的な考察と次元解析による方法と併用した Einstein の渦流砂量式や、揚圧力か粒子群に及ぼす力積と saltation layer 中の粒子群の重力により下方に及ぼす力積に等しいという考え方とともに導かれた佐藤・吉川・芦田の式を初め、多くの実験式が提案されておりが、これらの式の精度については、右記の実験資料から充分検討されたとは云ひ難い段階にあるようだに思われる。最近、とくに米国において、多くの実験が行なわれ流砂量実験の資料もかなり豊富になりつつある。従って、この機会に図-1の渦流型流砂量  $q_s \geq \psi$  の資料をひととげ集め、著者らの実験結果とともに検討してみたい。

渦流砂の強度  $\psi = g_d/\sqrt{sqd^2}$  ( $g_d$ : 渦流砂量の実質容積,  $s$ : 水中比重,  $d$ : 粒径) と渦流力  $\psi = 2\phi/sqd = RI/sd$  ( $U_* = \sqrt{g_d R}$ ) との関係をプロットしたものは図-2に示すようににはばはたしく散らばる。これは rippled, dune における河床砂の移動はその背面、打ちかれたから、渦流力の面からすれば、砂移動に寄与する応力は全抵抗で  $g_d$  ではなく、背面に生じて形成される摩擦応力を  $R$  に分配されるからである。また、energy 消費の面から見て、Einstein の前掲式(1)によれば、河床面における消費される energy のうち砂移動に有効で、dune の軸に沿う消失する摩擦応力は  $R$  に起る左の砂移動に寄与するものと考へてもよい。後者の考え方によれば、dune に沿り砂を下流へ運ぶ砂移動と interflow を無視し、水深  $h$ 、流速  $U$  の流れの砂粒強度  $k_0$  に対する energy 分配比  $\eta$  の式は用ひる。

$$\frac{\eta}{\eta_0} = (\frac{h}{h_0})^2 \quad \eta_0 = 5.75 \log(\frac{U_*}{k_0}) \quad (1)$$

ところで、Einstein の  $W/c$  は一定、すなはち  $U_*$  一定とすると、河床高  $h$  と分割しては次のよう

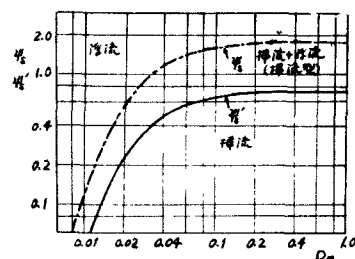


図-1 涡流と浮流の境界

$$\tau_i = \rho g R_i I \quad \frac{U}{\sqrt{g R_i I}} = 5.75 \log_{10} (12.27 R_i / h_0) \quad (2)$$

これら算定されたものと L2 と L3。同一河床上の合成粗度の各々に対応させて水深を分割するモデルは水理学的には不明瞭であるが、上式を書き換へると

$$\frac{\tau_i}{\tau_0} = \left[ \frac{9}{(\rho_0 + 5.75 \log_{10} \frac{R_i}{h_0})} \right]^2 \quad (3)$$

となり、(1)式より若干小さめの  $\tau_i/\tau_0$  を与える。図-2に示された資料を用い、重さ  $\gamma_{fl} = R_i I / s_d$  との関係をプロットすると図-3のようになる。なお、図中の実線は Einstein の掃流砂関数

$$1 - \frac{1}{\sqrt{\pi C}} \int_{-\frac{B}{\eta_0} - \frac{1}{\eta_0}}^{\frac{B}{\eta_0} - \frac{1}{\eta_0}} e^{-t^2} dt = \frac{A \eta_0}{1 + A \eta_0} \quad (4)$$

$$B = 0.143 \quad \frac{1}{\eta_0} = 2.0 \quad A = 43.5$$

である。明らかなに重さと差との相図は図-2にくらべて第3として改善されてゐる。測定値は概して(4)式の示す曲線の上方に散らばり量的では一致はみられない。一方、資料の中には dune, flat bed, Anti-dune の regime における smooth に属するもののが含まれてゐる(これは  $u_{x1} = u_{x2}$  のこと)が、これらの資料は概して(4)式の曲線に適合してゐる。従つて、(3)式は dune の影響を過大に評価し、Einstein 式による計算値は一般に過小な値を与える傾向がある。

図-4 は藤原・橋にした表示、すなはち重さ  $\gamma_{fl} = u_{x1}^2 / g s_d \cdot \Psi_{fl}$  との関係を plot したものである。この表示は(1)式の関係が乱れと境界層との相互干渉のため歪むものと考え、実用的な便法として dune か否か transition の領域にかけた掃流砂量を flat bed のものに一致させたうえで砂粒運動に寄与する掃流力  $\tau_i$  とみなす、 $\tau_i/\tau_0 = 9/9$  の関数として逆算した結果、簡単に

$$\frac{\tau_i}{\tau_0} = 9/9. \quad (5)$$

としたものである。理論的計算における式は、新しい資料を含めて両者の相図は図-3 通りもれなりようである。

おわりに、佐藤らの掃流砂量の式は理論的に最も明快である。その式形はよく知られていふようになつてゐる。

$$\text{重さ } \gamma = \frac{\gamma (C_L a^2)}{2 \sqrt{2 \pi}} F(0) \beta \Psi^{1/5} f(\Psi_{fl}) \quad (6)$$

ここで  $X = \gamma (C_L a^2) F(0) \beta / 2 \sqrt{2 \pi}$  中の  $A$ ,  $\beta$  (それぞれ小砂粒に作用する代表流速、砂の平均移動速度との比) は粗度係数  $C_L$  の函数と考へられ、 $X$  と  $\beta$  の関係が図-5 の実線の下に示される。この関係は無次元化されないことに若干の不明瞭さが残されて、図-5 に示されるように  $X$  に  $\beta$  の大きさ場合にかけた散らばりはかなり著しい。

